

# Kleinwinkelstreuung

**S**<sub>mall</sub> **A**<sub>n</sub>**g****l****e** **X**-Ray **S**<sub>cattering</sub> ,

**S**<sub>mall</sub> **A**<sub>n</sub>**g****l****e** **N**<sub>eutron</sub> **S**<sub>cattering</sub>

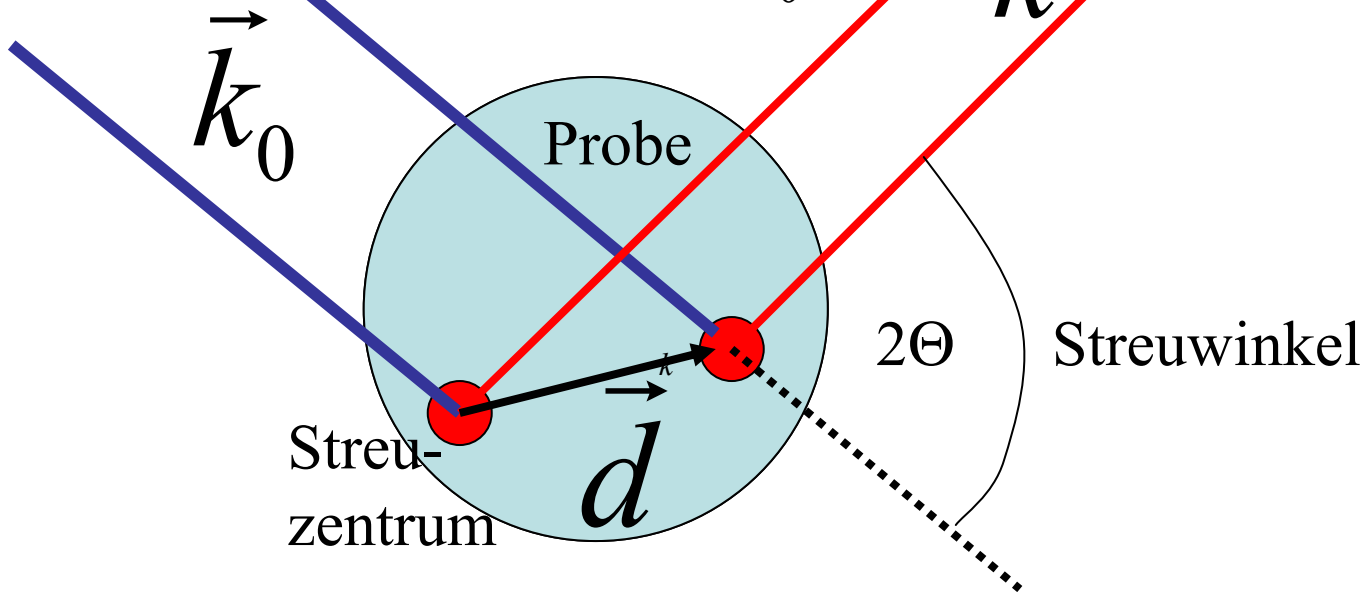
- Streuexperiment
- Differentieller Streuquerschnitt
- Streulängendichten
- Makromoleküle in Lösung  
Kleinwinkelstreuung
- Kontrastvariation
- Guinier-Plot und  
Gyrationsradius
- Anwendungen

# Prinzip eines Streuexperimentes

$$k = |\vec{k}| = \frac{|\vec{p}|}{\hbar} = \frac{2\pi}{\lambda} \quad \text{Wellenzahl}$$

Einlaufende Welle

Quasielastische Streuung  $k \approx k_0$

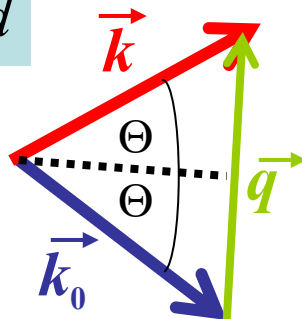


Phasenunterschied der beiden gestreuten Teilwellen

$$\Delta\varphi \equiv \varphi_1 - \varphi_2 = \vec{k}\vec{d} - \vec{k}_0\vec{d} = \vec{q}\vec{d}$$

Streuvektor

$$\vec{q} = \vec{k} - \vec{k}_0$$



$$q = \frac{4\pi}{\lambda} \sin \Theta$$

Betrag des Streuvektors

# Kleinwinkelstreuung

Interferenzeffekte dominant bei

$$q d \approx \pi,$$

d. h. zur Auflösung von Strukturen mit charakteristischem Abstand z. B.

$$d = 3,14 \text{ nm}$$

sollte man bis zum Betrag

$$q_{\max} = 1 \text{ nm}^{-1}$$

des Streuvektors messen.

Je größer  $d$ , desto kleiner  $q_{\max}$ .

Sei  $\lambda = 1 \text{ nm}$ . Dann gilt für die Energie der im Streuexperiment verwendeten Teilchen:

$$\varepsilon_{\gamma} = \hbar\omega = \frac{hc}{\lambda} \approx 1,2 \text{ keV}$$

Röntgenstrahlung

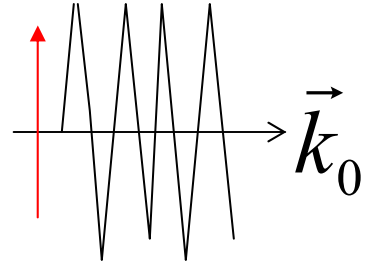
$$\varepsilon_n = \frac{(\hbar k)^2}{2m_n} = \frac{h^2}{2m_n \lambda^2} \approx 1 \text{ meV}$$

Thermische  
Neutronen

# Streumechanismus für Röntgenstrahlung

Einlaufende elektromagnetische Welle

$$\vec{E}(\vec{r}, t) = \vec{e}_p E_0 e^{-i(\omega \cdot t - \vec{k}_0 \vec{r})}$$



**Polarisationsvektor**  $\vec{e}_p$

Ein quasifreies Elektron ( $e, m_e$ ) am Ort  $\vec{r}$

wird zum Mitschwingen angeregt  $m_e \ddot{\vec{r}} = e\vec{E}$

Dabei entsteht ein oszillierender elektrischer Dipol

$$\ddot{\vec{p}} = e\ddot{\vec{r}} = \frac{e^2}{m_e} \vec{E}$$

Im Streuvolumenelement  $dV$  befinden sich  $\rho dV$  Elektronen und man hat dort einen emittierenden Hertz'schen Dipol der Stärke

$$d\ddot{\vec{p}}(\vec{r}, t) = \vec{e}_p E_0 e^{-i(\omega \cdot t - \vec{k}_0 \vec{r})} \frac{e^2}{m_e} \rho(\vec{r}) dV.$$

$\rho(\vec{r})$  ist die Anzahldichte der Elektronen am Ort  $\vec{r}$

# Retardierung

$$d\ddot{\vec{p}}(\vec{r}, t_r) = \vec{e}_p E_0 e^{-i(\omega \cdot t_r - \vec{k}_0 \vec{r})} \frac{e^2}{m_e} \rho(\vec{r}) dV.$$

$$d\ddot{\vec{p}}(\vec{r}, t_r) = \vec{e}_p e^{-i\vec{q}\vec{r}} \rho(\vec{r}) dV \cdot \frac{e^2}{m_e} E_0 e^{-i(\omega \cdot t - kR)}$$

$$\vec{q} \equiv \vec{k} - \vec{k}_0$$

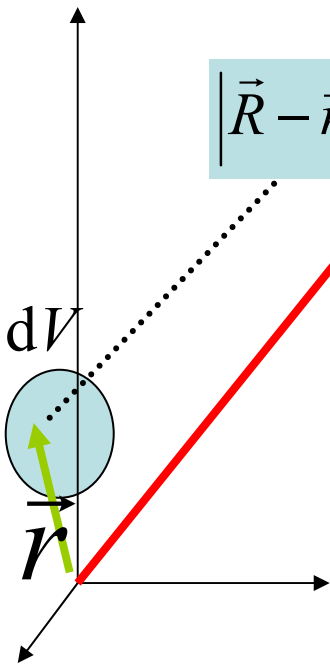
$$\vec{k} \equiv \frac{\omega}{c} \cdot \frac{\vec{R}}{R} = k \vec{e}_k$$

$$|\vec{R} - \vec{r}| \approx R - \frac{\vec{r}\vec{R}}{R}$$

$$|\vec{R} - \vec{r}|$$

Die Phase der bei  $R$  ankommenden und von  $dV$  emittierten Wellen wird vom Streuvektor und dem Ort des Streuelements bestimmt:

$$\begin{aligned} \omega \cdot t_r - \vec{k}_0 \vec{r} &= \omega \left( t - \frac{|\vec{R} - \vec{r}|}{c} \right) - \vec{k}_0 \vec{r} \approx \\ &\approx \omega \cdot t - \frac{\omega}{c} \left( R - \frac{\vec{R}\vec{r}}{R} \right) - \vec{k}_0 \vec{r} = \omega \cdot t - kR + \vec{q}\vec{r} \end{aligned}$$



# Hertz'scher Dipol, Fernfeld

Die von der Probe gestreute Röntgenstrahlung besitzt am Ort des Detektors die magnetische Feldstärke

$$\vec{H}_s(\vec{R}, t) = \int \frac{d\vec{p}(\vec{r}, t_r) \times \vec{e}_k}{4\pi R c} = F(\vec{q}) \cdot \frac{1}{\mu_0 c} \cdot \frac{E_0}{R} e^{-i(\omega t - kR)} \cdot (\vec{e}_p \times \vec{e}_k)$$

mit

$$F(\vec{q}) \equiv \int \tilde{\rho}(\vec{r}) e^{-i\vec{q}\vec{r}} dV \quad \text{Streuamplitude}$$

$$\tilde{\rho}(\vec{r}) = r_e \cdot \rho(\vec{r}) \quad \text{Streulängendichte}$$

$$r_e = \frac{e^2}{4\pi\epsilon_0 m_e c^2} \approx 2,818 \cdot 10^{-15} \text{ m} \quad \text{Klassischer Elektronenradius}$$

Die dazu gehörende elektrische Feldstärke ist

$$\vec{E}_s(\vec{R}, t) = \frac{1}{\epsilon_0 c} \vec{H}_s(\vec{R}, t) \times \vec{e}_k$$

Die in Richtung zum Detektor in den Raumwinkel  $d\Omega$  gestreute Leistung ist gegeben durch

$$dP = \langle \vec{E}_s \times \vec{H}_s \rangle R^2 d\Omega = j_0 |F(\vec{q})|^2 (\vec{e}_p \times \vec{e}_s)^2 \cdot d\Omega$$

mit  $j_0$  als Energiestromdichte der einlaufenden Welle:

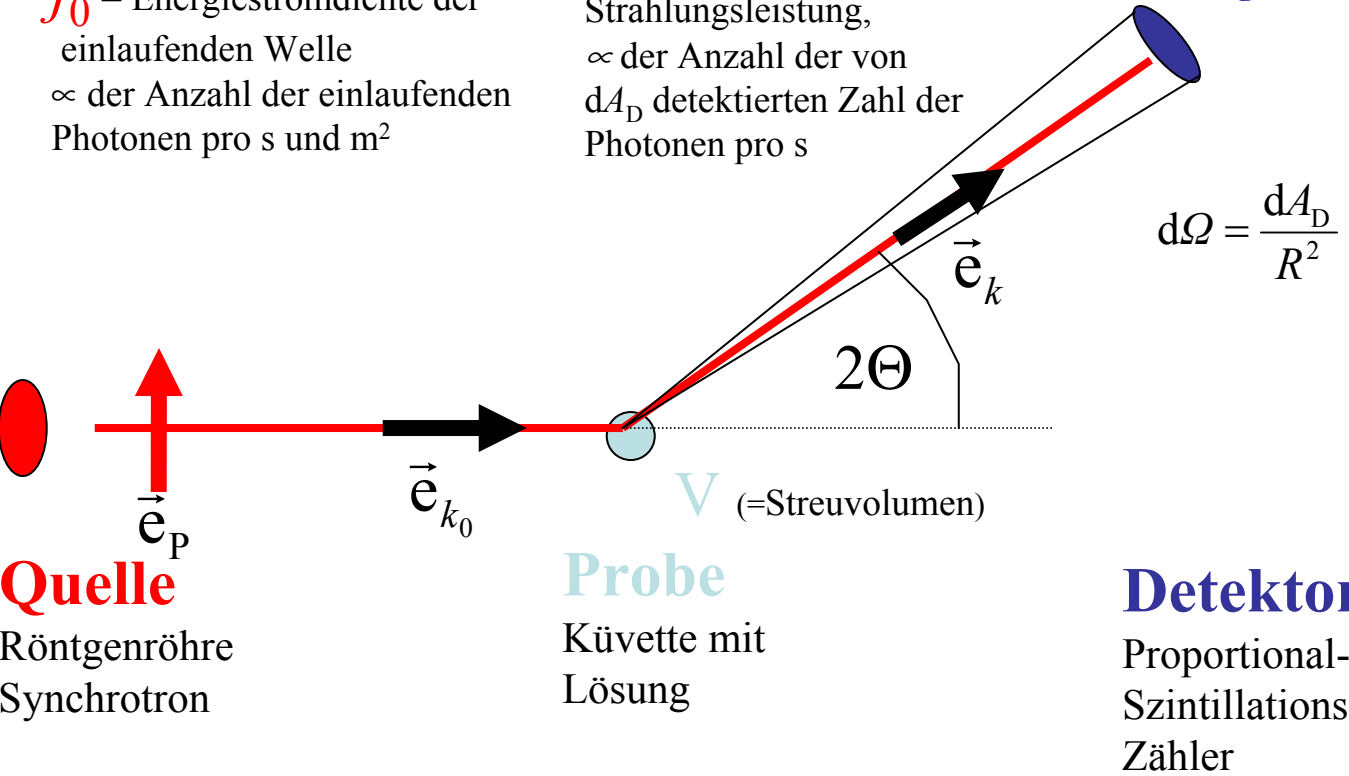
$$j_0 = \left( \frac{1}{2} \epsilon_0 E_0^2 \right) \cdot c$$

# Differentieller Streuquerschnitt (Röntgenstreuung)

$j_0$  = Energiestromdichte der einlaufenden Welle  
 $\propto$  der Anzahl der einlaufenden Photonen pro s und  $m^2$

$dP$  = von  $dA_D$  empfangene Strahlungsleistung,  
 $\propto$  der Anzahl der von  $dA_D$  detektierten Zahl der Photonen pro s

Detektorfläche  $dA_D$



$$\frac{d\sigma}{d\Omega} \equiv \frac{1}{j_0} \frac{dP}{d\Omega}$$

Differentieller Streuquerschnitt [ $m^2$ ]

$$\frac{d\Sigma}{d\Omega} \equiv \frac{1}{V} \frac{d\sigma}{d\Omega}$$

Differentieller Streuquerschnitt pro Volumeneinheit der Probe [ $m^{-1}$ ]

$$\frac{d\sigma}{d\Omega} = |F(\vec{q})|^2 \cdot f_P$$

$$f_P = (\vec{e}_P \times \vec{e}_k)^2$$

$$F(\vec{q}) \equiv \int \tilde{\rho}(\vec{r}) e^{-i\vec{q}\vec{r}} dV$$

$$\tilde{\rho}(\vec{r}) = r_e \cdot \rho(\vec{r})$$

# Einfachste Anwendungen der Röntgenstreueformel

## Einzelnes Elektron in Koordinatenursprung

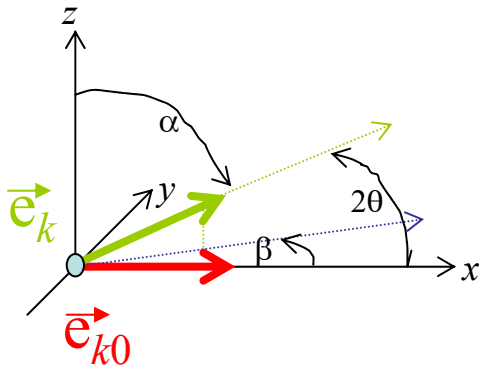
$$\tilde{\rho}(\vec{r}) = r_e \delta(\vec{r})$$

$$F(\vec{q}) = \int \tilde{\rho}(\vec{r}) e^{-i\vec{q}\vec{r}} dV = r_e$$

$$\frac{d\sigma}{d\Omega} = |F(\vec{q})|^2 \cdot f_P = r_e^2 \cdot (\vec{e}_P \times \vec{e}_k)^2$$

Unpolarisierte Röntgenstrahlung:

$$(\vec{e}_P \times \vec{e}_k)^2 \rightarrow \frac{1}{2} \{ (\vec{e}_y \times \vec{e}_k)^2 + (\vec{e}_z \times \vec{e}_k)^2 \} = \frac{1}{2} \{ (1 - \sin^2 \alpha + \cos^2(2\theta)) + (\sin^2 \alpha) \} = \frac{1 + \cos^2(2\theta)}{2}$$



$$\begin{aligned} \sin^2(\vec{e}_y, \vec{e}_k) &= 1 - \cos^2(\vec{e}_y, \vec{e}_k) = \cos^2(\vec{e}_z, \vec{e}_k) + \cos^2(\vec{e}_x, \vec{e}_k) \\ \cos^2(\vec{e}_z, \vec{e}_k) &= 1 - \sin^2 \alpha \\ \cos^2(\vec{e}_x, \vec{e}_k) &= \cos^2(2\theta) \end{aligned}$$

Thomson-Streuung

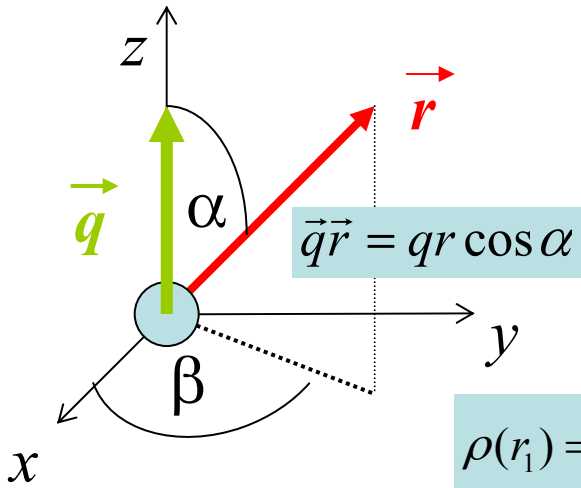
$$\frac{d\sigma}{d\Omega} = r_e^2 \frac{1 + \cos^2(2\theta)}{2}$$

$$\sigma = \int d\sigma = r_e^2 \frac{4\pi + \frac{4\pi}{3}}{2} = \frac{8\pi}{3} \cdot r_e^2 \approx 0,6653 \text{ b}$$

$$1 \text{ b} = 10^{-28} \text{ m}^2$$



## Atom im Koordinatenursprung, Atomformfaktor



Atom oder Ion mit  $N_e$  Elektronen in einer Hülle mit der kugelsymmetrischen Einelektronendichte

$$\rho(r_1) = \int dV_2 \int dV_3 \dots \int dV_{N_e} |\Psi(\vec{r}_1, \vec{r}_2, \vec{r}_3, \dots, \vec{r}_{N_e})|^2$$

$$\tilde{\rho}(\vec{r}) = N_e r_e \rho(r)$$

$$F(\vec{q}) = N_e r_e \int_0^{2\pi} d\beta \int_0^{\pi} \sin \alpha \cdot d\alpha \int_0^{\infty} \rho(r) r^2 e^{iqr \cos \alpha} dr$$

Die Winkelintegration kann allgemein ausgeführt werden und ergibt

$$F(q) = r_e \cdot f_a(q)$$

$$f_a(q) = N_e \cdot 4\pi \cdot \int_0^{\infty} r^2 \left( \frac{\sin(qr)}{qr} \right) \rho(r) dr$$

**Atomformfaktor  $f_a(q)$**

Der Atomformfaktor  $f_a(q)$  besitzt bei  $q = 0$  den größten Wert,  $f_a(0) = N_e$ , und geht mit wachsendem  $q$  gegen null. Für das H-Atom ergibt sich  $f_a(q) = (1 + (qa_0/2)^2)^{-2}$  d. h. bei  $q_{1/2} = 24,3 \text{ nm}^{-1}$  ist der Formfaktor auf die Hälfte seines Anfangswertes gesunken. Für schwerere Atome wird  $q_{1/2}$  kleiner.

In Kleinwinkelstreuexperimenten ist der  $q_{\max}$  gewöhnlich kleiner als  $4 \text{ nm}^{-1}$ , so dass mit konstanten Atomformfaktoren  $f_a(q) = N_e$  gerechnet werden kann.

# Streumechanismus für Neutronen

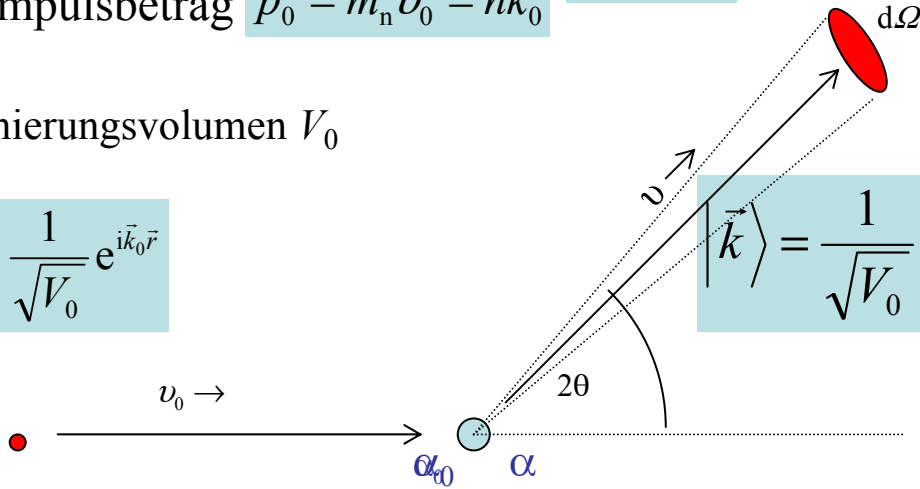
Einlaufendes Neutron mit Energie und Impulsbetrag  $p_0 = m_n v_0 = \hbar k_0$

$$E = \frac{\hbar^2 k_0^2}{2m_n}$$

Normierungsvolumen  $V_0$

$$|\vec{k}_0\rangle = \frac{1}{\sqrt{V_0}} e^{i\vec{k}_0 \vec{r}}$$

$$|\vec{k}\rangle = \frac{1}{\sqrt{V_0}} e^{i\vec{k} \vec{r}}$$



Zustand der Probe durch Quantenzahlen  $\alpha$  beschrieben

$$\frac{dP}{dt} = \frac{2\pi}{\hbar} \left\langle \left| \langle \vec{k}, \alpha | \hat{H}_1 | \vec{k}_0, \alpha_0 \rangle \right|^2 \right\rangle_{\alpha} \Delta N \cdot \delta(E_{k\alpha} - E_{k_0\alpha_0})$$

Fermi's Goldene Regel

$$\Delta N = \left( \frac{V_0}{8\pi^3} \right) k^2 dk \cdot d\Omega = \left( \frac{V_0}{8\pi^3} \right) \frac{m_n}{\hbar^2} dE \cdot \frac{m_n v}{\hbar} d\Omega$$

Anzahl der Endzustände

$$k dk = \frac{m_n}{\hbar^2} dE \quad k = \frac{m_n \cdot v}{\hbar}$$

$$\hat{H}_1 = \frac{2\pi\hbar^2}{m_n} \sum_{\ell} a_{\ell\alpha} \delta(\vec{r} - \vec{r}_{\ell})$$

Fermi-Kontaktwechselwirkung  
Kern-Streulänge  $a_{\ell\alpha}$

$$\left| \langle \vec{k}, \alpha | \hat{H}_1 | \vec{k}_0, \alpha_0 \rangle \right|^2 = \frac{4\pi^2 \hbar^4}{m_n^2 V_0^2} \left| \sum_{\ell} a_{\ell\alpha} e^{-i\vec{q} \vec{r}} \right|^2$$

## Differentieller Streuquerschnitt

$$d\sigma = \frac{\frac{dP}{dt}}{\frac{1}{V_0} v_0} = \frac{\frac{2\pi}{\hbar} \frac{4\pi^2 \hbar^4}{m_n^2 V_0^2} \left\langle \left| \sum_{\ell} a_{\ell\alpha} e^{-i\vec{q}\vec{r}_{\ell}} \right|^2 \right\rangle_{\alpha} \left( \frac{V_0 m_n^2 v}{8\pi^3 \hbar^3} dE d\Omega \right) \delta(E_{k\alpha} - E_{k_0\alpha_0})}{\frac{v_0}{V_0}}$$

Differentieller Streuquerschnitt pro Raumwinkel- und Energieintervall

$$\frac{d^2\sigma}{d\Omega dE} = \frac{v}{v_0} \left\langle \left| \sum_{\ell} a_{\ell\alpha} e^{-i\vec{q}\vec{r}_{\ell}} \right|^2 \right\rangle_{\alpha} \delta(\hbar\omega + E_{\alpha} - E_{\alpha_0})$$

$$\hbar\omega = \frac{\hbar^2}{2m_n} (k^2 - k_0^2)$$

Energieübertrag von Probe auf Neutron

## Quasielastische Streuung

$$\hbar\omega \approx 0 \quad v \approx v_0 \quad \int dE \dots$$

Differentieller Streuquerschnitt pro Raumwinkelelement

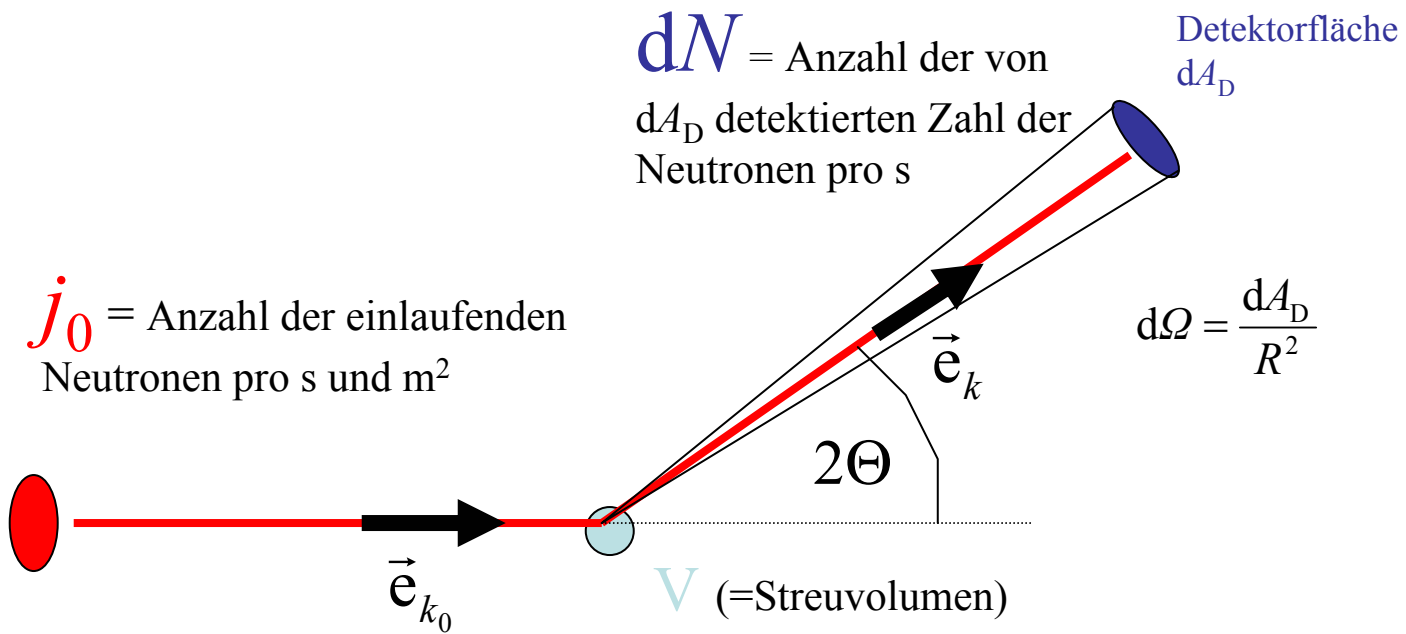
$$\frac{d\sigma}{d\Omega} = \left\langle \left| \sum_{\ell} a_{\ell\alpha} e^{-i\vec{q}\vec{r}_{\ell}} \right|^2 \right\rangle_{\alpha} = \sum_{\ell, \ell'} \langle a_{\ell\alpha} a_{\ell'\alpha'} \rangle_{\alpha} e^{-i\vec{q}\vec{r}_{\ell\ell'}} = \sum_{\ell} (b_{\ell}^{\text{inc}})^2 + \left| \sum_{\ell} b_{\ell} e^{-i\vec{q}\vec{r}_{\ell}} \right|^2$$

Mittelung über (die unkorrelierten) Spinzustände  $\alpha$  der Kerne

$$\langle a_{\ell\alpha} a_{\ell'\alpha'} \rangle_{\alpha} = \langle a_{\ell\alpha}^2 \rangle_{\alpha} \delta_{\ell\ell'} + \langle a_{\ell\alpha} \rangle_{\alpha} \langle a_{\ell'\alpha'} \rangle_{\alpha'} (1 - \delta_{\ell\ell'}) = b_{\ell}^{\text{inc}} \delta_{\ell\ell'} + b_{\ell} b_{\ell'}$$

$$(b_{\ell}^{\text{inc}}) \equiv \sqrt{\langle a_{\ell\alpha}^2 \rangle_{\alpha} - (\langle a_{\ell\alpha} \rangle_{\alpha})^2} \quad b_{\ell} \equiv \langle a_{\ell\alpha} \rangle_{\alpha}$$

# Differentieller Streuquerschnitt (Neutronenstreuung)



## Quelle

Kernspaltungsreaktor  
Spallationsquelle

## Probe

Küvette mit  
Lösung

## Detektor

$BF_3$ -/ $^3He$ -  
Zählrohr

$$\frac{d\sigma}{d\Omega} \equiv \frac{1}{j_0} \frac{dN}{d\Omega} = \left( \frac{d\sigma}{d\Omega} \right)_{\text{coh}} + \left( \frac{d\sigma}{d\Omega} \right)_{\text{inc}}$$

$$\left( \frac{d\sigma}{d\Omega} \right)_{\text{coh}} = |F(\vec{q})|^2$$

$$F(\vec{q}) \equiv \int \tilde{\rho}(\vec{r}) e^{-i\vec{q}\vec{r}} dV$$

$$\tilde{\rho}(\vec{r}) = \sum_{\ell} b_{\ell} \delta(\vec{r} - \vec{r}_{\ell})$$

$b_{\ell}$  = kohärente Streulänge des Atomkerns  $\ell$

Der kohärente Streuquerschnitt in SANS ist völlig analog zum Streuquerschnitt in SAXS und enthält Information über die Streulängendichte der Probe.

$$\left( \frac{d\sigma}{d\Omega} \right)_{\text{inc}} = \sum_{\ell} (b_{\ell}^{\text{inc}})^2$$

$b_{\ell}^{\text{inc}}$  = inkohärente Streulänge des Atomkerns  $\ell$

Der inkohärente Streuquerschnitt verursacht einen isotropen (diffusen) Untergrund der Streuintensität.

# Streulängen für kohärente Neutronenstreuung und Röntgenstreuung

Element Kern	$n$ b/fm	$\gamma$ $r_e f_a(0)$ /fm
$^1\text{H}$	-3,74	2,82
$^2\text{H}$	6,67	2,82
C	6,65	16,9
N	9,36	19,7
O	5,80	22,5
$^{31}\text{P}$	5,13	42,3
S	2,85	45,1
Cl	9,58	47,9
Ca	4,7	56,4
Fe	9,45	73,3
Zn	5,68	84,5
Pt	9,6	220

n-Streuquerschnitte

$$\sigma_{\text{coh}} = 4\pi b^2$$

$$\sigma_{\text{inc}} = 4\pi (b_{\text{inc}})^2$$

$\sigma/b$	$^1\text{H}$	$^2\text{H}$	e
$\sigma_{\text{coh}}$	1,76	5,592	0,665
$\sigma_{\text{inc}}$	80,3	2,05	

## Streulängendichten von H<sub>2</sub>O/D<sub>2</sub>O-Mischungen

### n-Streulänge und Streulängendichte von H<sub>2</sub>O

$$b(\text{H}_2\text{O}) = [2 \cdot (-3,74) + 5,80] \text{ fm} = -1,68 \text{ fm}$$

$$\tilde{\rho}(\text{H}_2\text{O}) = \frac{b(\text{H}_2\text{O})}{V_m(\text{H}_2\text{O})} = \frac{b(\text{H}_2\text{O})}{\frac{M(\text{H}_2\text{O})}{\rho(\text{H}_2\text{O}) \cdot N_A}} = \frac{-1,68 \text{ fm}}{\frac{18,0 \frac{\text{g}}{\text{mol}}}{0,997 \frac{\text{g}}{\text{cm}^3} \cdot \frac{6,02 \cdot 10^{23}}{\text{mol}}}} = -0,559 \cdot 10^{14} \text{ m}^{-2}$$

### n-Streulänge und Streulängendichte von D<sub>2</sub>O

$$b(\text{D}_2\text{O}) = [2 \cdot (6,67) + 5,80] \text{ fm} = 19,1 \text{ fm}$$

$$\tilde{\rho}(\text{D}_2\text{O}) = \frac{b(\text{D}_2\text{O})}{V_m(\text{D}_2\text{O})} = \frac{b(\text{D}_2\text{O})}{\frac{M(\text{D}_2\text{O})}{\rho(\text{D}_2\text{O}) \cdot N_A}} = \frac{19,1 \text{ fm}}{\frac{20,0 \frac{\text{g}}{\text{mol}}}{1,10 \frac{\text{g}}{\text{cm}^3} \cdot \frac{6,02 \cdot 10^{23}}{\text{mol}}}} = 6,35 \cdot 10^{14} \text{ m}^{-2}$$

### Streulängendichte einer H<sub>2</sub>O/D<sub>2</sub>O Mischung mit Molenbruch x von D<sub>2</sub>O

$$x \equiv \frac{N(\text{D}_2\text{O})}{N(\text{H}_2\text{O}) + N(\text{D}_2\text{O})}$$

$$\tilde{\rho}(x) = x \cdot \tilde{\rho}(\text{D}_2\text{O}) + (1 - x) \cdot \tilde{\rho}(\text{H}_2\text{O}) = (-0,559 + 6,91x) \cdot 10^{14} \text{ m}^{-2}$$

## Streulängendichten von H<sub>2</sub>O/Glycerol-Mischungen

### $\gamma$ -Streulänge und Streulängendichte von H<sub>2</sub>O

$$b_\gamma(\text{H}_2\text{O}) = [2 \cdot r_e + 8 \cdot r_e] = 28,2 \text{ fm}$$

$$\tilde{\rho}_\gamma(\text{H}_2\text{O}) = \frac{b_\gamma(\text{H}_2\text{O})}{V_m(\text{H}_2\text{O})} = \frac{b_\gamma(\text{H}_2\text{O})}{\frac{M(\text{H}_2\text{O})}{\rho(\text{H}_2\text{O}) \cdot N_A}} = \frac{28,2 \text{ fm}}{\frac{18,0 \frac{\text{g}}{\text{mol}}}{0,997 \frac{\text{g}}{\text{cm}^3} \cdot \frac{6,02 \cdot 10^{23}}{\text{mol}}}} = 9,40 \cdot 10^{14} \text{ m}^{-2}$$

### $\gamma$ -Streulänge und Streulängendichte von Glycerol, C<sub>3</sub>O<sub>3</sub>H<sub>8</sub>

$$b_\gamma(\text{C}_3\text{O}_3\text{H}_8) = r_e [3 \cdot 6 + 3 \cdot 8 + 8] = 141 \text{ fm}$$

$$\tilde{\rho}_\gamma(\text{C}_3\text{O}_3\text{H}_8) = \frac{b_\gamma(\text{C}_3\text{O}_3\text{H}_8)}{V_m(\text{C}_3\text{O}_3\text{H}_8)} = \frac{b_\gamma(\text{C}_3\text{O}_3\text{H}_8)}{\frac{M(\text{C}_3\text{O}_3\text{H}_8)}{\rho(\text{C}_3\text{O}_3\text{H}_8) \cdot N_A}} = \frac{141 \text{ fm}}{\frac{92,1 \frac{\text{g}}{\text{mol}}}{1,26 \frac{\text{g}}{\text{cm}^3} \cdot \frac{6,02 \cdot 10^{23}}{\text{mol}}}} = 11,6 \cdot 10^{14} \text{ m}^{-2}$$

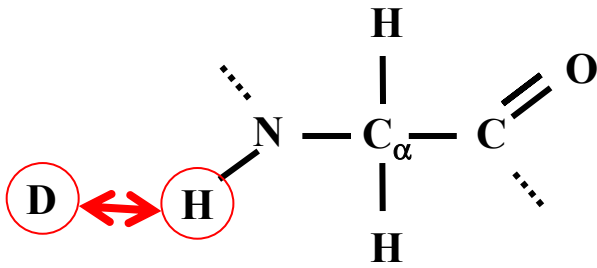
### Streulängendichte einer H<sub>2</sub>O/C<sub>3</sub>O<sub>3</sub>H<sub>8</sub> Mischung mit Molenbruch x von C<sub>3</sub>O<sub>3</sub>H<sub>8</sub>

$$x \equiv \frac{N(\text{C}_3\text{O}_3\text{H}_8)}{N(\text{H}_2\text{O}) + N(\text{C}_3\text{O}_3\text{H}_8)}$$

$$\tilde{\rho}_\gamma(x) = x \cdot \tilde{\rho}_\gamma(\text{C}_3\text{O}_3\text{H}_8) + (1-x) \cdot \tilde{\rho}_\gamma(\text{H}_2\text{O}) = (9,40 + 132x) \cdot 10^{14} \text{ m}^{-2}$$

# Streulängendichte von Proteinen

## Beispiel Glycinrest



austauschend



$$V_m(\text{G}) \approx 0,664 \text{ nm}^3$$

$$b(\text{C}_2\text{NOH}_3) = 1,72 \cdot 10^{-14} \text{ m}$$

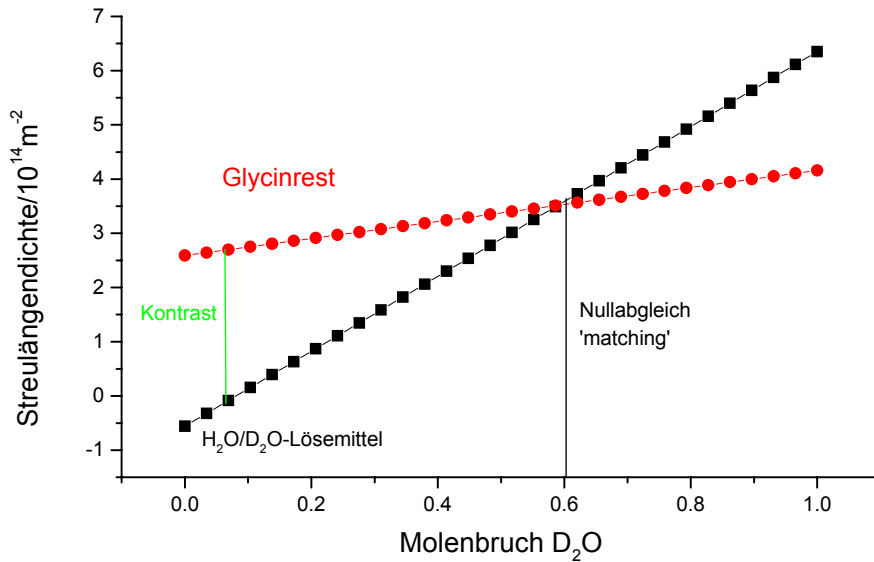
$$b(\text{C}_2\text{NOH}_2\text{D}) = 2,76 \cdot 10^{-14} \text{ m}$$

$$\tilde{\rho}(\text{C}_2\text{NOH}_3) = 2,59 \cdot 10^{14} \text{ m}^{-2}$$

$$\tilde{\rho}(\text{C}_2\text{NOH}_2\text{D}) = 4,16 \cdot 10^{14} \text{ m}^{-2}$$

Streulängendichte des Glycinrests in einer  $\text{H}_2\text{O}/\text{D}_2\text{O}$ -Mischung mit Molenbruch  $x(\text{D}_2\text{O})$

$$\tilde{\rho}(\text{G}, x) = x \cdot \tilde{\rho}(\text{C}_2\text{NOH}_2\text{D}) + (1-x) \cdot \tilde{\rho}(\text{C}_2\text{NOH}_3) = (2,59 + 1,57x) \cdot 10^{14} \text{ m}^{-2}$$





Mittlere Streulängendichten verschiedener biologischer Makromoleküle beim matching in wässriger Lösung. Man beachte die starke Markierungsmöglichkeit bei Volldeuterierung von Proteinen

